
QUADRICÓPTERO EM ESPAÇO 2D

André Tommasello Ramos - 11511EMT025
Gabriel Renato Oliveira Alves - 11621EMT007
Nicolas Bruno Santos Pereira - 11621EMT013
Ricardo Henrique da Silva Assis - 11611EMT013
Victor Spini Paranaíba - 11611EMT005
Professor: Dr. Éder Alves de Moura

Uberlândia, 4 de outubro de 2021

Sumário

1	Introdução	1
2	Metodologia	2
2.1	Requerimentos	2
2.2	Descrição do sistema	2
2.3	Sistema de controle	4
2.4	Resposta ao degrau unitário	5
2.5	Trajeto�ria m�nima	6
2.5.1	Gerando a trajet�ria	7
	Refer�ncias Bibliogr�ficas	10

1 Introdução

Controlando um quadricóptero no espaço 2D. A simulação comanda o quadricóptero para vários pontos de passagem a cada poucos segundos.

A trajetória é calculada usando diferentes geradores de trajetória: snap, jerk, aceleração e velocidade mínimos. Após o término de cada trajetória, alguns segundos se passarão antes que o quadricóptero se mova para o próximo gerador de trajetória. Todas as trajetórias são traçadas com antecedência usando vários tons de cinza. A trajetória real é exibida em amarelo. Os pontos de trajetória são representados em vermelho como pequenas cruces.

Além disso a simulação conta com um modo manual, onde a posição do quadricóptero é controlada a partir das teclas direcionais do teclado em tempo real.

Este link leva a um breve vídeo explicando sucintamente o código do simulador

2 Metodologia

Este relatório descreve como o simulador é construído usando a teoria de controle moderna e design de controlador de espaço de estado.

2.1 REQUERIMENTOS

Para o desenvolvimento do projeto foi necessário uma versão atualizada do Python, no caso a utilizada foi a 3.8.

Algumas bibliotecas foram utilizadas ao longo da implementação dentre elas vale destaque:

- `pymunk` uma biblioteca de física 2d que pode ser usada para simular dinâmicas de corpo rígido 2D no Python (BLOMQVIST, 2007).
- `pyglet` uma biblioteca multimídia para Python, destinada ao desenvolvimento de jogos e outros aplicativos visualmente ricos. Ela oferece suporte a janelas, manipulação de eventos da interface do usuário, joysticks, gráficos OpenGL, carregamento de imagens e vídeos e reprodução de sons e música (PYGLET..., 2016).
- `numpy` uma biblioteca Python que fornece um objeto de matriz multidimensional, vários objetos derivados (como matrizes e matrizes mascaradas) e uma variedade de rotinas para operações rápidas em matrizes, incluindo matemática, lógica, manipulação de forma, classificação, seleção, E/S, transformadas discretas de Fourier, álgebra linear básica, operações estatísticas básicas, simulação aleatória, etc (HARRIS et al., 2020).
- `matplotlib` uma biblioteca abrangente para a criação de visualizações estáticas, animadas e interativas em Python (HUNTER, 2007).
- `sympy` uma biblioteca Python para matemática simbólica (MEURER et al., 2017).

Dentre essas, bibliotecas nativas como `math`, `logging` e `enum` também foram utilizadas.

2.2 DESCRIÇÃO DO SISTEMA

A tarefa de controle consiste em rastrear referências para as posições y e z mantendo-se θ constante e igual a zero. Com esse propósito, manipulam-se as entradas u_1 e u_2 que são

função das forças F_1 e F_2 . Essas variáveis de entrada encontram-se apontadas na Figura 2.1.

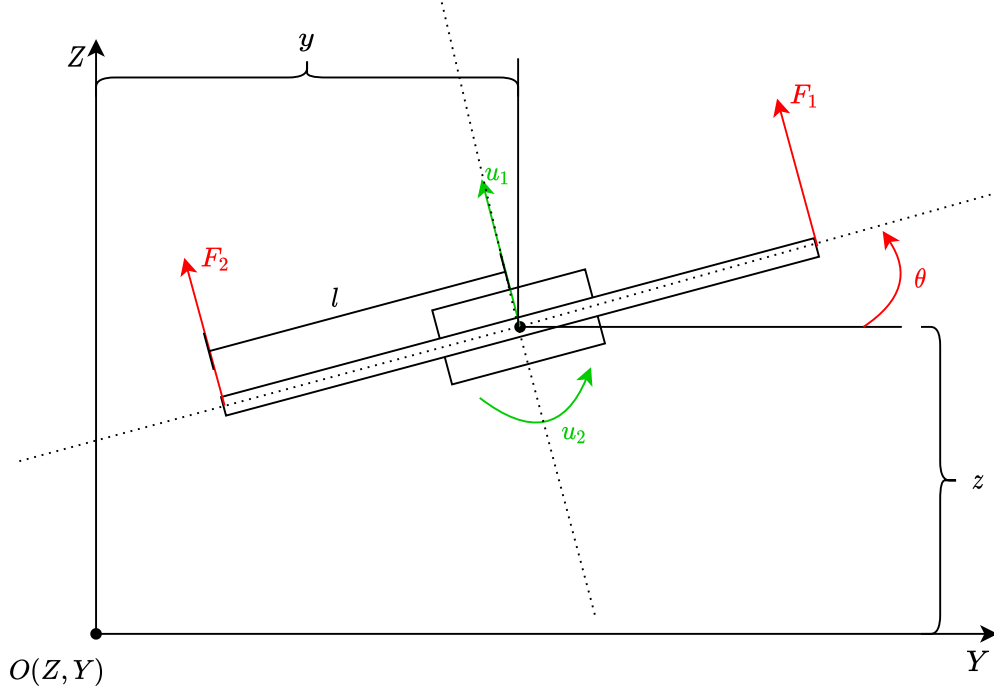


Figura 2.1: Ilustração das variáveis controladas u_1 e u_2

O modelo não linear a tempo contínuo do sistema é definido como

$$m\ddot{y}(t) = -(F_1(t) + F_2(t)) \sin \theta(t) \quad (2.1)$$

$$m\ddot{z}(t) = (F_1(t) + F_2(t)) - mg \quad (2.2)$$

$$I\ddot{\theta}(t) = l(F_1(t) - F_2(t)) \quad (2.3)$$

Sendo a representação do modelo linear no espaço de estados a tempo contínuo desse sistema

$$\dot{x}(t) = \begin{bmatrix} 0 & 0 & 0 & 1 & 0 & 0 \\ 0 & 0 & 0 & 0 & 1 & 0 \\ 0 & 0 & 0 & 0 & 0 & 1 \\ 0 & 0 & -\frac{\tilde{u}_1}{m} & 0 & 0 & 0 \\ 0 & 0 & 0 & 0 & 0 & 0 \\ 0 & 0 & 0 & 0 & 0 & 0 \end{bmatrix} x(t) + \begin{bmatrix} 0 & 0 \\ 0 & 0 \\ 0 & 0 \\ 0 & 0 \\ \frac{1}{m} & 0 \\ 0 & \frac{1}{l} \end{bmatrix} u(t) \quad (2.4)$$

$$(2.5)$$

em que $x = [y \ z \ \theta \ \dot{y} \ \dot{z} \ \dot{\theta}]^T$ e $u = [\tilde{u}_1 \ \tilde{u}_2]^T$. Os valores e as descrições das constantes encontram-se na Tabela 2.1. O símbolo “~” indica valores relativos aos valores de equilíbrio.

O controle total aplicado no sistema é então definido como

$$\begin{bmatrix} u_1(t) \\ u_2(t) \end{bmatrix} = u(t) + \begin{bmatrix} \bar{u}_1 \\ \bar{u}_2 \end{bmatrix} \quad (2.6)$$

em que $[\bar{u}_1 \ \bar{u}_2]^T$ são os valores de equilíbrio para as entradas definidos como

$$\begin{bmatrix} \bar{u}_1 \\ \bar{u}_2 \end{bmatrix} = \begin{bmatrix} mg \\ 0 \end{bmatrix} \quad (2.7)$$

Por fim a relação entre as entradas de controle e as forças geradas pelos motores definida como

$$\begin{bmatrix} u_1(t) \\ u_2(t) \end{bmatrix} = \begin{bmatrix} F_1(t) + F_2(t) \\ l(F_1(t) - F_2(t)) \end{bmatrix} \quad (2.8)$$

Os valores e as descrições das constantes encontram-se na Tabela 2.1

Tabela 2.1: Descrição dos parâmetros do modelo.

Constante	Significado	Valor
I	Momento de inércia total	0,001 kg·m ²
l	Comprimento dos braços do quadricóptero	0,25 m
m	massa do quadricóptero	0,25 Kg
g	aceleração gravitacional	9,8 m ² /s

2.3 SISTEMA DE CONTROLE

Consiste em um controlador que paire o quadricóptero em uma determinada posição. Neste caso, as acelerações e velocidades desejadas serão zero em regime permanente. Ignorando qualquer erro, isto é, foi presumido que o quadricóptero não será afetado por fontes externas, como o vento, por isso não será considerada ação integral na equação do controlador.

Do modelo (2.4) temos que as dinâmicas lineares são

$$\ddot{y} = -g\theta \quad (2.9)$$

$$\ddot{z} = \frac{\tilde{u}_1}{m} \quad (2.10)$$

$$\ddot{\theta} = \frac{\tilde{u}_2}{I} \quad (2.11)$$

Para criar as equações de controle PD, aplica-se um ganho proporcional ao erro de distância e um ganho derivado ao erro de velocidade e ainda considerando realimentação

negativa, as acelerações são definidas como

$$\ddot{y}(t) = \ddot{y}_r(t) + K_{d,y}(\dot{y}_r(t) - \dot{y}(t)) + K_{p,y}(y_r(t) - y(t)) \quad (2.12)$$

$$\ddot{z}(t) = \ddot{z}_r(t) + K_{d,z}(\dot{z}_r(t) - \dot{z}(t)) + K_{p,z}(z_r(t) - z(t)) \quad (2.13)$$

$$\ddot{\theta}(t) = K_{d,\theta}(\dot{\theta}_r(t) - \dot{\theta}(t)) + K_{p,\theta}(\theta_r(t) - \theta(t)) \quad (2.14)$$

em que o sub-escrito r indica valores de referência.

Então substituindo as equações das acelerações nas dinâmicas lineares é possível definir a equação das entradas parciais

$$\theta_r(t) = -\frac{1}{g}(\ddot{y}_r(t) + K_{d,y}(\dot{y}_r(t) - \dot{y}(t)) + K_{p,y}(y_r(t) - y(t))) \quad (2.15)$$

$$\tilde{u}_1(t) = m(\ddot{z}_r(t) + K_{d,z}(\dot{z}_r(t) - \dot{z}(t)) + K_{p,z}(z_r(t) - z(t))) \quad (2.16)$$

$$\tilde{u}_2(t) = \ddot{\theta}_r(t) + K_{d,\theta}(\dot{\theta}_r(t) - \dot{\theta}(t)) + K_{p,\theta}(\theta_r(t) - \theta(t)) \quad (2.17)$$

Obtêm-se as equações do controle total somando os valores de equilíbrio nas equações das entradas parciais

$$\theta_r(t) = -\frac{1}{g}(\ddot{y}_r(t) + K_{d,y}(\dot{y}_r(t) - \dot{y}(t)) + K_{p,y}(y_r(t) - y(t))) \quad (2.18)$$

$$u_1(t) = m(g + \ddot{z}_r(t) + K_{d,z}(\dot{z}_r(t) - \dot{z}(t)) + K_{p,z}(z_r(t) - z(t))) \quad (2.19)$$

$$u_2(t) = \ddot{\theta}_r(t) + K_{d,\theta}(\dot{\theta}_r(t) - \dot{\theta}(t)) + K_{p,\theta}(\theta_r(t) - \theta(t)) \quad (2.20)$$

2.4 RESPOSTA AO DEGRAU UNITÁRIO

Para ajustar os valores dos ganhos realizou-se simulações em relação ao modelo não linear considerando como referencia um degrau unitário para as posições y e z , na Figura 2.2 são apresentados os estados quando o quadricóptero está se movendo de $(0,0)$ para $(1,1)$.

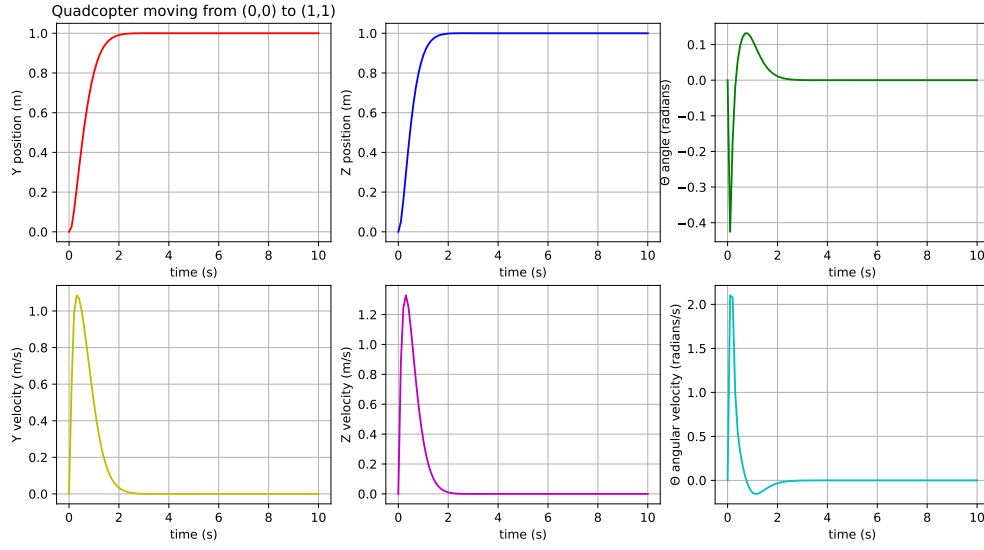


Figura 2.2: Resposta ao degrau unitário

2.5 TRAJETÓRIA MINÍMA

Supondo que o trajeto entre dois pontos p_1 e p_2 entre os intervalos t_1 e t_2 seja definido como

$$x(t) = f(t) \quad (2.21)$$

E sejam a velocidade, a aceleração, o jerk e o snap definidos, respectivamente, como

$$v(t) = \dot{x}(t) \quad (2.22)$$

$$a(t) = \ddot{x}(t) \quad (2.23)$$

$$j(t) = x^{(3)}(t) \quad (2.24)$$

$$s(t) = x^{(4)}(t) \quad (2.25)$$

A trajetória será mínima se

$$\min x(t) = \int_{t_1}^{t_2} (x^{(n)})^{(2)} dt = 0 \quad (2.26)$$

em que n indica o tipo de trajetória mínima, conforme Tabela 2.2.

Tabela 2.2: Tipos de minimização de trajetória.

n	Tipo de minimização
1	Velocidade
2	Aceleração
3	Jerk
4	Snap

Agora supondo uma trajetória com snap mínimo, segue que

$$\min x(t) = \int_{t_1}^{t_2} (x^{(4)})^{(2)} dt = 0 \quad (2.27)$$

$$\min x(t) = \int_{t_1}^{t_2} (x^{(8)}) dt = 0 \quad (2.28)$$

isto é verdade se a trajetória for definida como um polinômio de sétima como

$$x(t) = c_7 t^7 + c_6 t^6 + c_5 t^5 + c_4 t^4 + c_3 t^3 + c_2 t^2 + c_1 t + c_0 \quad (2.29)$$

uma vez que $x^{(8)}(t) = 0$, então (2.27) é mínimo e igual a zero.

A tabela 2.3 mostra a relação do tipo de trajetória mínima com a ordem do polinômio que define a trajetória.

Tabela 2.3: Ordem do polinômio que define a trajetória de acordo com o tipos de minimização de trajetória.

Tipo de minimização	Ordem do polinômio	Numero de coeficientes
Velocidade	1	2
Aceleração	3	4
Jerk	5	6
Snap	7	8

2.5.1 Gerando a trajetória

Para um conjunto de 2 pontos a e b onde o tempo na posição a é t_1 , e o tempo na posição b é t_2 , assumimos que a velocidade e todas as derivadas de tempo adicionais serão zero (ou seja, o objeto após o trajetória começa e termina em repouso):

Tabela 2.4: Condições de contorno.

	Posição	Velocidade	Aceleração	Jerk
$t = t_1$	a	0	0	0
$t = t_2$	b	0	0	0

Seja a trajetória definida como em (2.30), isso significa que teremos 8 incógnitas, da álgebra linear é conhecido que serão necessárias 8 equações linearmente independentes para determinar os coeficientes do polinômio que resultara como a trajetória de snap mínima no período de tempo determinado. Sabendo-se as condições de contorno é possível avaliar as equações de posição, velocidade, aceleração e jerk nos tempos inicial e final para gerar as equações necessárias. Observe que isso será em 1 dimensão, mas podemos repetir o processo para cada dimensão - por exemplo, se quisermos gerar uma trajetória no espaço 3D, o processo será o mesmo para x , y e z e podemos reutilizar a matriz A para cada dimensão.

As equações são as seguintes:

$$\begin{aligned}
a &= c_7 t_1^7 + c_6 t_1^6 + c_5 t_1^5 + c_4 t_1^4 + c_3 t_1^3 + c_2 t_1^2 + c_1 t_1 + c_0 \\
0 &= 7c_7 t_1^6 + 6c_6 t_1^5 + 5c_5 t_1^4 + 4c_4 t_1^3 + 3c_3 t_1^2 + 2c_2 t_1 + c_1 \\
0 &= 42c_7 t_1^5 + 30c_6 t_1^4 + 20c_5 t_1^3 + 12c_4 t_1^2 + 6c_3 t_1 + 2c_2 \\
0 &= 210c_7 t_1^4 + 120c_6 t_1^3 + 60c_5 t_1^2 + 24c_4 t_1 + 6c_3 \\
b &= c_7 t_2^7 + c_6 t_2^6 + c_5 t_2^5 + c_4 t_2^4 + c_3 t_2^3 + c_2 t_2^2 + c_1 t_2 + c_0 \\
0 &= 7c_7 t_2^6 + 6c_6 t_2^5 + 5c_5 t_2^4 + 4c_4 t_2^3 + 3c_3 t_2^2 + 2c_2 t_2 + c_1 \\
0 &= 42c_7 t_2^5 + 30c_6 t_2^4 + 20c_5 t_2^3 + 12c_4 t_2^2 + 6c_3 t_2 + 2c_2 \\
0 &= 210c_7 t_2^4 + 120c_6 t_2^3 + 60c_5 t_2^2 + 24c_4 t_2 + 6c_3
\end{aligned}$$

No formato matricial temos

$$\underbrace{\begin{bmatrix} 1 & t_1 & t_1^2 & t_1^3 & t_1^4 & t_1^5 & t_1^6 & t_1^7 \\ 0 & 1 & 2t_1 & 3t_1^2 & 4t_1^3 & 5t_1^4 & 6t_1^5 & 7t_1^6 \\ 0 & 0 & 2 & 6t_1 & 12t_1^2 & 20t_1^3 & 30t_1^4 & 42t_1^5 \\ 0 & 0 & 0 & 6 & 24t_1 & 60t_1^2 & 120t_1^3 & 210t_1^4 \\ 1 & t_2 & t_2^2 & t_2^3 & t_2^4 & t_2^5 & t_2^6 & t_2^7 \\ 0 & 1 & 2t_2 & 3t_2^2 & 4t_2^3 & 5t_2^4 & 6t_2^5 & 7t_2^6 \\ 0 & 0 & 2 & 6t_2 & 12t_2^2 & 20t_2^3 & 30t_2^4 & 42t_2^5 \\ 0 & 0 & 0 & 6 & 24t_2 & 60t_2^2 & 120t_2^3 & 210t_2^4 \end{bmatrix}}_A \underbrace{\begin{bmatrix} c_0 \\ c_1 \\ c_2 \\ c_3 \\ c_4 \\ c_5 \\ c_6 \\ c_7 \end{bmatrix}}_c = \underbrace{\begin{bmatrix} a \\ 0 \\ 0 \\ 0 \\ b \\ 0 \\ 0 \\ 0 \end{bmatrix}}_p \quad (2.30)$$

Ou seja o sistema é simplificado para

$$Ac = p \quad (2.31)$$

Os coeficientes são determinados fazendo

$$c = A^{-1}p \quad (2.32)$$

Desta forma sabendo-se as posições e os tempo para atingir cada posição é possível determinar o polinômio que minimiza uma trajetória.

Com os coeficientes determinados a cada instante de amostragem sera passado para ao controlador as posições velocidades e acelerações de referencia, determinadas no um instante de amostragem a frente ao instante atual.

Referências Bibliográficas

BLOMQVIST, V. *Pymunk: A easy-to-use pythonic rigid body 2d physics library (version 6.2.0)*. 2007. Disponível em: <<https://www.pymunk.org>>.

HARRIS, C. R. et al. Array programming with NumPy. *Nature*, Springer Science and Business Media LLC, v. 585, n. 7825, p. 357–362, set. 2020. Disponível em: <<https://doi.org/10.1038/s41586-020-2649-2>>.

HUNTER, J. D. Matplotlib: A 2d graphics environment. *Computing in Science & Engineering*, IEEE COMPUTER SOC, v. 9, n. 3, p. 90–95, 2007.

MEURER, A. et al. Sympy: symbolic computing in python. *PeerJ Computer Science*, v. 3, p. e103, jan. 2017. ISSN 2376-5992. Disponível em: <<https://doi.org/10.7717/peerj-cs.103>>.

PYGLET: a cross-platform windowing and multimedia library for Python (version 1.5.21). 2016. Disponível em: <<https://github.com/pyglet/pyglet>>.